

## $L_1$ -거리와 $L_1$ -데이터뎁스를 이용한 분류방법의 비교연구\*

백수진<sup>1)</sup> 김진경<sup>2)</sup> 황진수<sup>3)</sup>

### 요약

$L_1$ -데이터뎁스를 이용한 분류방법( $L1DDclass$ )과 관측치들 사이의  $L_1$ -거리를 이용한 분류방법( $L1DISTclass$ )의 특징을 살펴보고, 이 두 방법을 결합한 새로운 분류방법( $DnDclass$ ; Distance and Data-depth based classification)의 효용성을 소개하고자 한다. 모의실험을 통해 세가지 분류방법의 결과를 비교하고 제안된 분류방법이 다양한 경우에 더 효과적일 수 있다는 사실을 확인한다.

주요용어:  $L_1$ -거리,  $L_1$ -데이터뎁스, 분류방법

### 1. 서론

최근 여러 분야에서 자료의 효과적인 분석을 위해서 다양한 분류(군집)분석방법들이 제안, 이용되고 있다. 그간 많이 이용되어온 전통적 분류(군집)분석방법으로는  $K$ -평균( $K$ -means), 계층적 군집법(Hierarchical clustering), 차별분석(Discriminant analysis), CART(Classification And Regression Tree) 등이 있다. 그런데 이 방법들은 로버스트하지 못한 경향이 있는데, 이를 보완하기 위해서 여러 방향에서 노력이 이루어지고 있다. 그간 제안된 로버스트한 분류(군집)분석 방법으로 PAM(Partitioning Around Medoids), SVM(Support Vector Machine), 신경망(Neural Nets) 등이 있다.

그 중 PAM은 잡음(noise)의 수준이 높거나 고차원 자료에서 문제점을 드러내는 약점이 있다. 이를 보완하기 위해 관측치들 간의 거리를 이용하는 분류(군집)분석방법인  $SILclass$ 가 제안되었고, Jornsten, Vardi와 Zhang(2002)은 군집들간에 분산의 차이가 많은 경우 오분류하는 경향이 있는  $SILclass$ 의 단점을 극복하기 위해서 로버스트한 자료분석 도구인 데이터 뎁스(Data Depth, Liu et. al.(1999) 참고)의 개념을 이용한 새로운 분류(군집)분석방법( $DDclass$ )을 제안하였다.

$SILclass$ 에서 군집의 수를 결정하는데 이용하는 실루엣 너비는 각 관측치들 간의 거리에 의해서 결정된다. 따라서 군집들이 비슷한 퍼짐의 정도를 갖고 있는 경우에는 효과적인데 반해, 군집들간에 퍼짐의 정도가 다양한 경우에는 퍼짐의 정도가 큰 군집에 포함된

\* 이 논문은 인하대학교 교내연구비로 지원되었음 INHA-31630-01

1) (122-701) 서울특별시 은평구 녹번동 5, 국립보건연구원 질병관리본부 호흡기세균팀, 연구원

E-mail: sjbaek@stat.inha.ac.kr

2) (교신저자) (402-751) 인천광역시 남구 용현동 253, 인하대학교 자연과학대학 수학통계학부, 교수

E-mail: jkkim@stat.inha.ac.kr

3) (402-751) 인천광역시 남구 용현동 253, 인하대학교 자연과학대학 수학통계학부, 교수

E-mail: jshwang@stat.inha.ac.kr

관측지는 상대적으로 밀집되어 모여있는 근처의 군집에 더 밀착된 것처럼 간주되는 오분류의 경향이 나타난다. 한편 *DDclass*에서 군집의 수를 결정하는데 이용하는 상대적 데이터 텁스(Relative Data Depth :ReD)는 Vardi와 Zhang(2000)에 의해 제안된  $L_1$ -데이터 텁스( $L_1 - DD$ )의 개념을 각 군집에 대한 상대적인 개념으로 확장한 것이다.  $L_1 - DD$ 는 관측치들 사이의 방향 벡터에 의해 결정되는데, 이 방향벡터는 거리와 무관하기 때문에 군집 간의 퍼짐의 정도에 영향을 잘 받지 않는 특징이 있다. 그러나 거리에 대한 정보를 이용하지 않으므로 분류시에 효율이 떨어지는 경우가 발생한다.

최근 Jornsten(2004)은 *SILclass*와 *DDclass*의 이러한 장단점을 고려하여 군집수를 결정하는데 *SILclass*의 실루엣너비와 *DDclass*의 상대적 데이터 텁스를 모두 고려하는 새로운 군집분석방법(*DDclust*)을 제안하고, 시뮬레이션 연구를 통하여 *DDclust*가 기존의 두 방법보다 더 나은 결과가 얻어질 수 있음을 보여주었다. 또한 Jornsten(2004)은 분류단계에서  $L_1$ -거리와  $L_1 - DD$ 를 결합하는 기준을 언급하였으나, 그 두 수치가 취하는 값의 범위가 너무 다양하기 때문에 생길 수 있는 어려움을 설명하고 이 분류기법을 비교연구의 대상으로 삼지 않았다. 이 논문에서는 이러한 문제점을 극복할 수 있도록 자료에 대하여 간단하게 적용시킬 수 있는 표준화방법을 제시하고,  $L_1$ -거리와  $L_1 - DD$ 를 결합한 분류방법(Data-depth and Distance classification; *DnDclass*)을 기존의 분류방법들과 비교하였다. 이 논문에서는 군집방법까지를 포함하는 *SILclass*나 *DDclass*와 구별하고자  $L_1$ -거리를 이용한 분류방법을 *L1DISTclass*로,  $L_1 - DD$ 를 이용한 분류방법을 *L1DDclass* 라 표현하기로 한다.

여러 종류의 데이터 텁스들 중에  $L_1 - DD$ 를 이용한 것은 우선 다른 데이터 텁스들은 자료의 차원이 높아지면서 계산에 시간이 많이 걸리는데 반해 이  $L_1 - DD$ 는 고차원의 자료에 대해서도 계산이 간편한 장점이 있고, 군집의 바깥에 존재하더라도 그 상대적인 위치에 따라서 데이터 텁스값이 0이 아닌 다양한 값을 갖기 때문에 상대적으로 좀 더 가까운 군집을 결정할 수 있기 때문이다. 또한 다양한 데이터 텁스를 이용한 분류기법들을 비교한 Ghosh 와 Chaudhuri(2005)를 참고하면 여러 종류의 데이터 텁스 중에  $L_1 - DD$ 가 그 성능에 있어서도 대체적으로 만족스러운 결과를 보여주는 것으로 나타났다. 한편  $L_1 - DD$ 에 의한 분류기는 자료의 shift, scaling, rotation에 대해서는 같은 결과를 주지만 affine invariant 하지 않은 단점을 갖고 있다. Ghosh 와 Chaudhuri(2005)에는 이를 개선하기 위한 표준화시키는 방법 등이 제안되어 있는데, 표준화 여부가 성능에는 별 영향을 주지 않은 것을 볼 수 있다. 이 논문에서는 다른 분류기법과의 성능의 비교를 연구하기 위한 것이므로 표준화하는 번거로움을 따르지 않았음을 밝혀둔다.

제 2절에서는  $L_1$ -거리와  $L_1 - DD$ 를 결합하는 분류방법, *DnDclass*를 정의하고, 그 방법을 적용하기 전에 필요한 표준화 방법을 소개한다. 제3절에서는 다양한 시뮬레이션 자료에 대하여  $L_1$ -거리와  $L_1 - DD$ 를 모두 고려하는 이 새로운 분류방법 *DnDclass*이 얼마나 효율적으로 분류하는가를 비교분석한다.

## 2. L<sub>1</sub>-거리와 L<sub>1</sub>-DD를 이용한 분류방법들

$R^p$ 에서  $N$ 개로 구성된  $x_1, \dots, x_N$ 의 데이터와  $\eta_1, \dots, \eta_N$ 의 양수가 있다고 하자. 여기서  $\eta_i$ 는 가중치 혹은  $x_i$ 들의 다중도(multiplicity)로서 데이터가 중복되지 않으면,  $\eta_i$ 는 1이다. 그리고  $I(k)$ 는  $k$ 군집의  $x_i$ 들의 라벨이다. 여기서 클래스 라벨을 가진 데이터를 훈련자료(training set; TR)라 하고, 라벨이 알려지지 않은 데이터를 테스트자료(test set; TE)라 한다.

### 2.1. L<sub>1</sub>-거리를 이용한 분류방법 : L1DISTclass

각 군집  $k$ 에 대하여  $\bar{d}(x_i|k)$ 는  $x_i$ 로부터  $k$  군집내 다른 모든 관측치들까지 거리의 평균이다. 분류방법으로서의 L1DISTclass는 TE에 있는 각 관측점의  $x_i$ 에 대하여 TR에 의해 정해진 군집들 중 가장 작은  $\bar{d}(x_i|\cdot)$ 를 주는 군집에 분류하는 것이다.

$\bar{d}$ 는 각 집단의 폐짐 정도에 영향을 받는다. 그러므로 자신이 속한 집단의 폐짐 정도가 크면  $\bar{d}$ 의 값은 커져서 오분류될 수 있다. 그림 2.1에서는 폐짐의 정도가 다를 경우에 L1DISTclass가 어떻게 분류하는가를 보기 위해서 각각 6개로 이루어진 두 개의 군집을 고려하였다. (a)는 폐짐이 큰 군집에 속한 관측치  $x_i$ 가 L1DISTclass에 의해서 근처에 위치한 폐짐이 작은 군집에 오분류되는 예를 보여준다. 한편 그림 2.1의 (b)는 두 군집이 서로 겹쳐있을 때 두 군집에 겹쳐 있는 곳에 위치하는 폐짐이 작은 군집에 속한 관측치  $x_j$ 가 L1DISTclass에 의해서 제대로 자신의 군집에 분류되는 예를 보여준다.

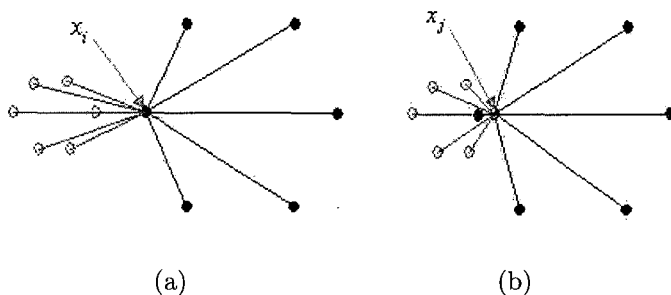


그림 2.1: L1DISTclass에 의한 오분류와 올바른 분류의 예

### 2.2. L<sub>1</sub>-DD를 이용한 분류방법 : L1DDclass

L1DDclass는 군집의 폐짐 정도에 별 영향을 받지 않는 데이터 맵스의 개념을 이용한 분류방법이다. 여기서 이용한 L<sub>1</sub>-DD는 고차원에서도 계산이 간편할 뿐만 아니라, 데이터 바깥에서도 중심으로부터 떨어져 있는 상대적인 위치에 따라 0이 아닌 다양한 값들을 갖는 장점이 있다. 이는 여러 군집들간에 L<sub>1</sub>-DD 값을 비교할 때 의미있게 사용될 수 있다.

$L_1 - DD$ 는  $L_1$ -중앙값(multivariate  $L_1$ -median)으로부터 계산되는데, 주어진 군집  $k$ 의  $L_1$ -중앙값  $y_0(k)$ 는 다음과 같이 정의한다.

$$y_0(k) = \arg \min_y \sum_{j \in I(k)} \eta_j \|x_j - y\|$$

$k$ 번째 군집에 대하여 관측치  $x_i$ 의  $L_1 - DD$ 는  $x_i$ 가 군집  $k$ 의  $L_1$ -중앙값 되기 위해서  $x_i$ 에 추가로 주어져야 하는 최소의 (확률)질량값을 1에서 빼준 값이다. 따라서  $x_i$ 가 중심으로부터 멀리 위치할수록  $x_i$ 가  $L_1$ -중앙값이 되기 위해 필요한 (확률)질량값이 증가하므로  $L_1 - DD$ 는 0에 가까워진다. 한편  $L_1 - DD$ 를 다음과 같이 약간 다른 각도에서도 정의할 수 있다.

$R^p$ 에 있는 한점  $z$ 에서 관측치  $x_i$ 까지 단위벡터를  $e_i(z) = \frac{(x_i - z)}{\|x_i - z\|}$ 라 하면,  $z$ 에 대한  $k$ 번째 군집에 있는 모든 관측치들 사이의 방향벡터의 평균은

$$\bar{e}(z|k) = \frac{\sum_{i \in I(k), x_i \neq z} \eta_i e_i(z)}{\sum_{i \in I(k)} \eta_i}$$

로 정의된다. 이 평균방향벡터를 이용하여 관측치  $z$ 에 대한  $k$ 번째 군집에서의  $L_1 - DD$ 를 정의하면 다음과 같다.

$$D(z|k) = 1 - \max[0, \|\bar{e}(z|k)\| - f(z|k)]$$

여기에서  $f(z|k)$ 는 군집  $k$ 에 있는  $z$ 와 같은 위치에 놓인 관측치들의 비율이다.

그림 2.2는 군집에서 관측치의 상대적 위치에 따라  $L_1 - DD$ 가 어떻게 계산되는지 보여준다. 즉, (a)를 보면 데이터들의 중앙에 위치한  $z_1$ 은  $\bar{e}(z_1) \simeq 0$ 이므로  $z_1$ 의  $L_1 - DD$ 는 1에 가까워진다는 사실을 알 수 있다. 한편, (b)에서와 같이 데이터들로부터 떨어진 곳에 위치한  $z_2$ 는  $\bar{e}(z_2) \simeq 1$ 이므로  $z_2$ 의  $L_1 - DD$ 는 0에 가까워진다.



(a)

(b)

그림 2.2: 관측치의 위치에 따른  $L_1$ -DD 값의 변화

분류방법으로서의  $L1DDclass$ 는  $TE$ 에 있는 각 관측점의  $x_i$ 에 대하여  $TR$ 에 의해 정해진 군집들 중 가장 큰  $D(x_i|\cdot)$ 을 주는 군집에 분류하는 것이다.

$L_1 - DD$ 를 결정짓는  $\bar{e}$ 는  $L1DISTclass$ 의  $\bar{d}$ 와 달리 군집의 펴짐의 정도에 거의 영향을 받지 않고 다만 방향에만 영향을 받는다. 따라서  $L1DISTclass$ 에 의해서 오분류되었던 관측치가  $L1DDclass$ 에 의해서는 제대로 분류될 수도 있고, 반대로  $L1DISTclass$ 에 의해서 제대로 분류되었던 관측치가  $L1DDclass$ 에 의해서는 오분류될 수도 있다. 그림 2.3은 그림 2.1에서  $L1DISTclass$ 에 의해서 분류되었던 관측치들이  $L1DDclass$ 에 의해서 어떻게 다르게 분류되는가를 보여준다. 즉,  $L1DISTclass$ 에 의해서 잘못 분류되었던  $x_i$ 는 제대로 분류되는 반면에,  $L1DISTclass$ 에 의해서 제대로 분류되었던  $x_j$ 는 잘못 분류될 수 있음을 보여준다.

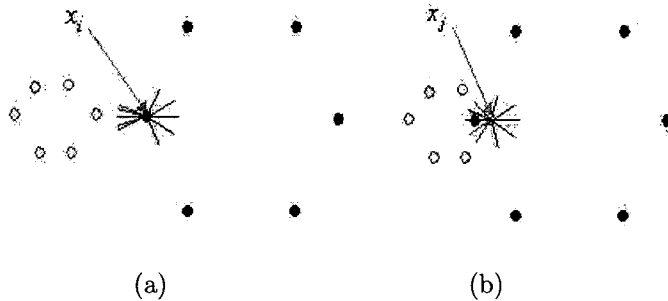


그림 2.3: L1DDclass에 의한 올바른 분류와 오분류의 예

### 2.3. $L_1$ -거리와 $L_1 - DD$ 를 결합한 분류방법 : $DnDclass$

그림 2.1과 그림 2.3에서 설명한 것과 같이 군집간의 펴짐의 정도가 다를 경우 두 군집의 경계 근처에 위치하는 관측치들에 대하여  $L1DISTclass$ 는 펴짐이 작은 군집으로 분류하는 경향이 있고,  $L1DDclass$ 는 펴짐이 큰 군집에 분류하는 경향이 있다. 따라서 이 둘의 결합된 형태의 새로운 분류방법은 고려해 볼만하다고 할 수 있다. 이 논문에서는 Jornsten(2004)이 언급한 바와 같이  $\bar{d}$ 와  $L_1 - DD$ 를 이용하여 새로운 분류분석방법(Distance and Data-depth Classification ;  $DnDclass$ )을 제안하고 그의 특징을 연구하고자 한다.

테스트자료의 관측치들  $x_j$ 에 대해서  $DnDclass$ 는 다음과 같이  $\hat{k}_j$ 의 군집으로 분류한다.

$$\hat{k}_j = \arg \min_k \{(1 - \lambda)\bar{d}(j|TR^k) - \lambda D(j|TR^k)\}, \quad \lambda \in [0, 1]$$

여기서  $TR^k$ 는 라벨  $k$ 의 훈련자료에서의 관측치들이다. 또한  $\lambda$ 는 두 기준,  $\bar{d}$ 와  $L_1 - DD$ 을 결합하는 값이다.

여기서 한가지 언급할 것은 Jornsten(2004)에 설명되어 있는 바와 같이  $L_1 - DD$ 는 0과 1 사이의 값을 취하는데 반해  $\bar{d}$ 는 데이터 단위에 따라 취하는 값의 범위가 다양하다. 따라서 가장 적절한  $\lambda$ 의 값은 관측치들의 단위에 따라 너무 그 변화가 너무 급격하게 나타난다. 따라서 이러한 문제점을 피하기 위해서는 관측치들에 적당한 표준화를 시키는 과정이

표 3.1: 시뮬레이션에 사용되는 이변량 정규분포

모집단	평균	분산	모집단	평균	분산
[1]	(0,0)	(1,0,0,1)	[4]	(3,3)	(9,0,0,9)
[2]	(2,2)	(4,0,0,4)	[5]	(0,0)	(1,0,0,9)
[3]	(2,2)	(1,0,0,1)	[6]	(7,0)	(9,0,0,1)

필수적이라 할 수 있다. 이 논문에서는  $R$ 에서 제공하는 표준화의 방법 중에 관측치들이 각 좌표축을 기준으로 전체범위가  $\pm 1$  정도의 값을 갖도록  $zsc$ 와  $max1$ 을 이용하여 표준화하는 과정을 거쳤다.

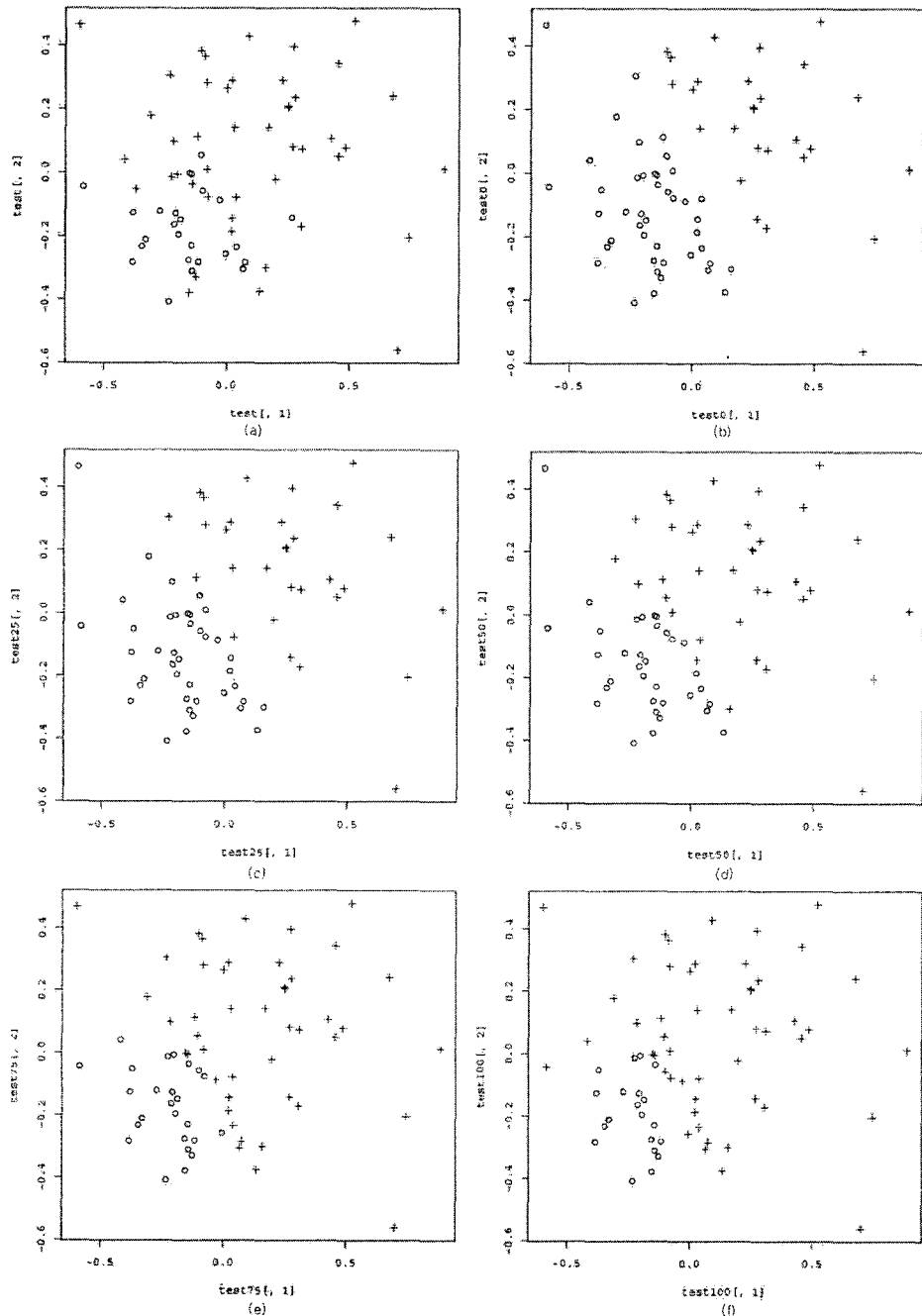
### 3. 모의실험을 통한 분류방법들의 비교

이 절에서는 시뮬레이션을 통하여 각 분류방법의 특징을 확인하고자 한다. 시뮬레이션 방법은 관측치의 90%를 이용하여 10%를 분류하는 과정을 실행하였다. 각 분류방법의 성능을 비교하기 위해서 1000번 표본을 추출해서 이 과정을 반복시행하고, 거기서 얻어진 오분류횟수들을 상자그림(Box-plot)을 이용하여 정리 비교하였다. 이 논문에서 분류방법들의 차이를 효과적으로 보여주기 위해서 고려하는 분포들은 이변량정규분포이고, 이를 정리하면 표 3.1과 같다. 여기서 평균은 평균벡터를 행벡터로 표현한 것이고, 분산은 분산행렬을 행벡터로 풀어서 표현한 것이다. 즉, 분산이  $(9, 0, 0, 1)$ 이라 함은 분산 행렬이  $(9, 0)$ 과  $(0, 1)$ 의 두 개의 행벡터로 이루어졌음을 의미한다.

첫째, 위 절에서 우리는 군집간의 페짐의 정도가 다를 경우 두 군집의 경계 근처에 위치하는 관측치들에 대하여  $L1DISTclass$ 는 페짐이 작은 군집으로 분류하는 경향이 있고,  $L1DDclass$ 는 페짐이 큰 군집에 분류하는 경향이 있다는 사실을 예측을 할 수 있었다. 따라서 이 두 방법을 결합한  $DnDclass$ 의 경우  $\lambda$ 값을 0의 값으로부터 1의 값까지 점점 크게 변화시키면 경계 근처의 자료들이 페짐이 큰 군집으로 분류되는 경향이 나타나리라 예상할 수 있다.

이를 확인하기 위해서 분산이 다른 두 개의 모집단, 즉, 모집단 [1]로부터 270개(○), 모집단 [2]로부터 430개(+), 총 700개의 관측값을 생성하고, 이 중 임의로 70개를 선택해서 테스트 자료라 하였다. 그림 3.1의(a)는 테스트 자료의 군집 분포를 나타내고, (b)는  $L1DISTclass$  경우의 분류상황을, (c)-(e)는 각각  $\lambda = 0.25, 0.5, 0.75$  일 때의 분류상황을, (f)는  $L1DDclass$  경우의 분류상황을 보여주고 있다. 여기서 보여지는 바와 같이 두 집단의 경계점의 값들이  $\lambda$ 의 값이 커지면서 점차로 분산이 더 큰 모집단 [2]로 분류되는 것을 알 수 있다.

둘째, 위의 서론에서 언급한 바와 같이 처음 Jornsten, Vardi와 Zhang(2002)에 의해서  $L_1-DD$ 를 이용한 분류방법이 제안된 것은 두 집단간에 페짐의 차이가 큰 경우에  $L_1$ -거리에 의한 분류방법이 오분류하는 경향이 많기 때문에 이를 보완하기 위한 것이었다. 따라서 페짐의 정도가 비슷한 그룹들로 이루어진 경우에는  $\lambda$  값이 작은 경우가, 페짐의 차이가 많은 그룹들로 이루어진 경우에는  $\lambda$  값이 큰 경우가 더 효과적으로 분류할 것으로 예측할 수 있다.

그림 3.1:  $\lambda$ 값의 변화에 따른 분류상황의 변화

이를 확인하기 위해서 다양한 경우에 시뮬레이션을 시행하였고, 몇 가지 특징 있는 경우를 그림 3.2로 정리하였다. 각 경우에 두 개의 모집단에서 각각 200개의 관측치를 생성하였고, 그 10%인 40개의 관측치를 테스트자료로 하여  $\lambda = 0, 0.1, 0.25, 0.50, 0.75, 0.9, 1$ 에 대해서 분류를 시행하고 이를 1000번 반복한 후 상자그림을 그린 것이다.  $\lambda = 0$ 은  $L1DISTclass$ 를 나타내고 이를  $L1Dist$ 로,  $\lambda = 1$ 은  $L1DDclass$ 를 나타내고 이를  $L1DD$ 로 표현하였다.

그림 3.2의 (a)는 모집단 [1](o)과 [3]의 분포를, (b)는 모집단 [1](o)과 [4]의 분포를 (c)는 모집단 [5](o)와 [6]의 분포를 대략적으로 보여주는 그림이다. (a)와 (c)는 두 모집단은 페짐의 정도가 같은 경우이고, (b)는 두 모집단은 페짐의 정도가 상당히 차이가 있는 경우이다. 여기서 우리는 (a)와 (c)의 경우는  $\lambda$ 가 작은 경우가, (b)의 경우는  $\lambda$ 가 큰 경우가 상대적으로 더 효과적이리라 예상할 수 있다. 그러나 그 아래의 상자그림들을 보면 (c)의 경우는 예상한 바와 같이  $\lambda$ 가 작을수록 오분류율이 낮아지는 분포를 보이나, (a)의 경우는 다양한  $\lambda$ 에 대해서 오분류율이 거의 같은 분포를 보이고, (b)의 경우는  $\lambda$ 가 0.5인 경우에 가장 좋은 오분류율을 갖는 것을 볼 수 있다. 따라서 여기서 우리가 알 수 있는 것은 처음에 예측한 것처럼 페짐이 비슷한 그룹에 대해서라고 항상  $\lambda$ 가 작은 경우가 효과적이고, 페짐의 차이가 많은 경우에는  $\lambda$ 가 큰 경우가 항상 효과적이라고 단정하기 어렵다는 것이다.

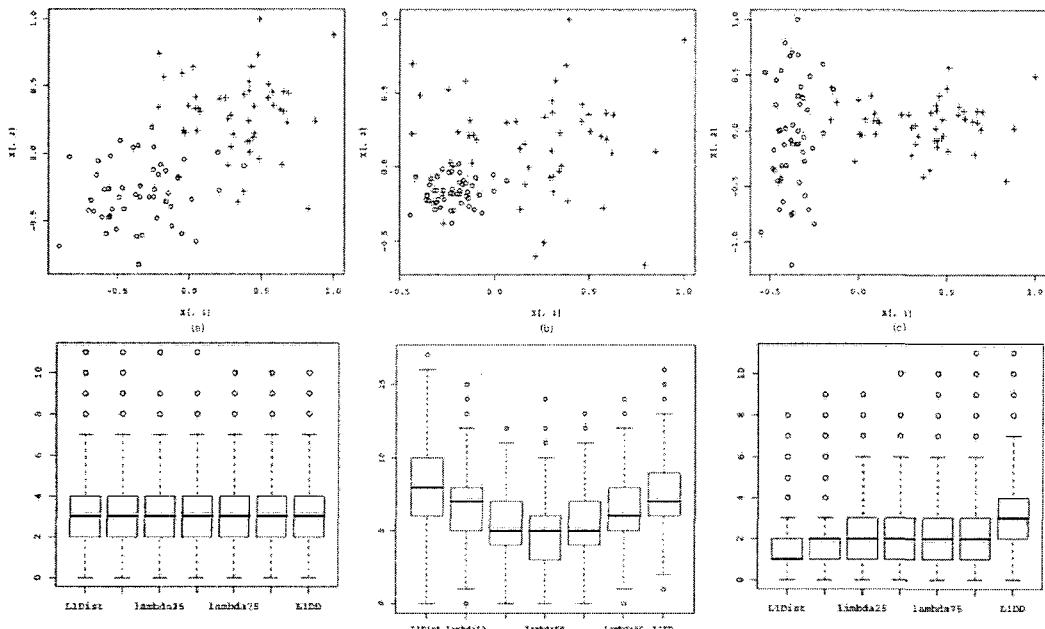


그림 3.2: 다양한 상황에서의 분류방법들의 성능비교

그림 3.2에서 (a)와 (c)가 모두 페짐의 정도가 같은 그룹으로 이루어져 있음에도 불구하고 서로 다른 결과가 나온 이유를 살펴보는 것은 분류방법들의 특징을 알아보는데 도움이 된다. (c)의 경우에 두 그룹의 경계에 있는 하나의 관측치를 분류하는 과정을 생각해보자.

이 관측치로부터 각 그룹에 속한 관측치들까지의 벡터들을 고려해보면 모집단 [5]에 속한 관측치들까지의 벡터들은 아주 넓은 각도에 걸쳐서 분포하는데 반해, 모집단[6]에 속한 관측치들까지의 벡터들은 주로 좁은 각도에 걸쳐서 분포하게 된다. 넓은 각도의 단위벡터들의 평균은 좁은 각도의 단위벡터들의 평균보다 작은 길이를 갖게 된다.  $\lambda$ 의 값이 클수록 그 벡터들의 길이의 평균보다는 단위벡터들의 평균의 길이만을 고려하게 되므로 모집단 [6]에 속하면서 경계근처에 있는 많은 관측치들이 모집단 [5]로 오분류되는 경향이 나타나게 되는 것이다. 따라서 L1DISTclass가 다른 어떤  $\lambda$  값을 갖는 경우보다 더 나은 성능을 보여주게 되는 것이다.

마지막으로 그림 3.2의 (b)의 경우에 오분류되는 상황을 생각해보자. 앞에서 언급한 바와 같이 두 그룹의 페짐의 정도가 차이가 많을 경우 경계근처에 위치한 관측값들은  $\lambda$ 의 값에 따라 그 값이 클수록 페짐의 정도가 큰 그룹에 분류되는 경향이 있다. 따라서 경계근처에 있는 관측치들이 페짐이 큰 그룹에 많이 속해 있을수록  $\lambda$  값이 클 때 더 나은 분류가 이루어지게 된다. 이를 살펴보기 위해서 그림 3.2의 (b)의 경우와 같은 분포를 갖는 두 개의 모집단을 대상으로, 페짐이 큰 모집단에서 점점 더 많은 관측치를 생성하면서 분류방법들이 어떤 성능의 변화를 보이는지 알아보았다. 즉, 모집단 [1]에서보다 모집단 [4]로부터 점점 더 많은 관측치를 생성하면서 각 분류방법의 성능이 어떻게 변화하는지 시뮬레이션을 시행하고, 이를 그림 3.3에 정리하였다.

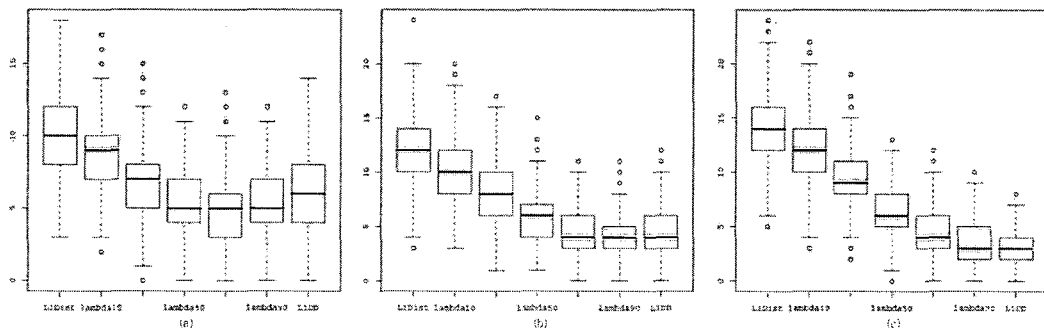


그림 3.3: 군집들의 관측치 갯수 변화에 따른 분류방법들의 성능 변화

그림 3.3의 (a)-(c)는 전체 400개의 관측치 중 모집단 [4]에서의 관측치의 수를 250,300,350으로 증가시킬 때 그림 3.2의 (b)의 상자그림이 어떻게 변화하는지 보여주는 것이다. 예측한 바와 같이 페짐이 큰 모집단에 속한 관측치의 갯수가 많을수록, 따라서 경계근처에 있는 관측치들이 페짐이 큰 그룹에 더 많이 속해 있을수록  $\lambda$  값이 클 때 더 나은 분류가 이루어지게 되는 것을 확인할 수 있다.

#### 4. 결론

위의 절에서 확인한 바와 같이 몇 개의 특이한 경우가 아닌 많은 상황에서는 적당한 L<sub>1</sub>-거리와 L<sub>1</sub>-DD를 모두 이용하는 DnDclass가 양극단의 L1DISTclass나 L1DDclass보다

더 나은 성능을 갖는 것을 볼 수 있다. 따라서 주어진 자료에서는 Cross Validation을 통해서 적당한  $\lambda$ 값을 결정한 후 선택된  $\lambda$  값을 이용한  $DnDclass$ 를 분류기법으로 제시하는 것이 더 바람직할 것으로 판단된다.

또한, 페짐의 정도가 서로 다른 그룹들을 분류하는 경우에 경계점에 위치한 관측치들은  $\lambda$ 의 값이 클수록 페짐이 큰 그룹으로 분류되는 경향이 있다. 따라서 큰 군집에 속하는 관측치의 갯수가 많을수록 더 큰  $\lambda$  값을 갖는 분류방법이 더 효과적인 것을 확인할 수 있다.

### 참고문헌

- Alon, U., Barkai, N., Notterdam, D. A., Gish, K., Ybarra, S., Mack, D. and Levine, A. J. (1999). Broad patterns of gene expression revealed by clustering analysis of tumor and normal colon tissues probed by oligonucleotide arrays. *Proceeding of the National Academy of Sciences*, 96, 6745-6750.
- Christmann, A. (2000). Classification Based on the SVM and on Regression Depth. *Statistical data analysis based on the L1norm and related methods*. Birkhauser, Statistics for industry and technology. Y. Dodge editor.
- Ghosh, A. K. and Chaudhuri, P. (2005). On Maximum Depth and Related Classifiers. *The Scandinavian Journal of Statistics*, 32, 327-350.
- Jornsten, R. (2004). Clustering and Classification Based on the L1 data depth. *Journal of Multivariate Analysis*, 90, 67-89.
- Jornsten, R., Vardi, Y. and Zhang, C-H. (2002). A Robust Clustering Method and Visualization Tool Based on Data Depth. *Statistical data analysis based on the L1norm and related methods*. Birkhauser, Statistics for industry and technology. Y. Dodge editor.
- Liu, R., Parelius, J. and Singh, K. (1999). Multivariate analysis by data depth : descriptive statistics, graphics and inference (with discussion). *The Annals of Statistics*, 27, 783-858.
- Tibshirani, R., Walther, G., Botstein, D. and Brown, P. (2001). Cluster validation by prediction strength. Technical report, Stanford University, Department of Biostatistics.
- Vardi, Y. and Zhnag, C-H. (2000). The multivariate L-1 median and associated data depth. *Proceeding of the National Academy of Sciences*, 97, 1423-1426.

[ 2005년 7월 접수, 2006년 1월 채택 ]

## Comparison Studies of Classification Methods based on *L<sub>1</sub>*-Distance and *L<sub>1</sub>*-Data Depth\*

Soojin Baek<sup>1)</sup> Jeankyung Kim<sup>2)</sup> Jinsoo Hwang<sup>3)</sup>

### ABSTRACT

We consider a new classification method(*DnDclass*) combining two classification rules based on *L<sub>1</sub>*-distance(*L1DISTclass*) and *L<sub>1</sub>*-data depth(*L1DDclass*). To investigate characteristics and to evaluate the performance of these classification methods, we use simulation data in various settings. Through this simulation study, we can confirm that the new method, *DnDclass*, performs relatively well in many cases.

*Keywords:* *L<sub>1</sub>*-distance, *L<sub>1</sub>*-data depth, classification

---

\* This research was partially supported by Inha University Grant, INHA-31630-01.

1) Researcher, Division of Bacterial Respiratory Infections, Center for Infectious Disease Research, Korea Center for Disease Control & Prevention, Korean National Institute of Health, 5, Nokbeon-dong Eunpyeong-gu, 122-701, Seoul, Korea.  
E-mail: sjbaek@stat.inha.ac.kr

2) (Corresponding author) Professor, Department of Statistics, Inha University, 253 Yonghyun-Dong, Nam-Gu, 402-751, Incheon, Korea.  
E-mail: jkkim@stat.inha.ac.kr

3) Professor, Department of Statistics, Inha University, 253 Yonghyun-Dong, Nam-Gu, 402-751, Incheon, Korea.  
E-mail: jshwang@stat.inha.ac.kr